

حَمْدُ اللّٰهِ
بِسْمِ اللّٰهِ الرَّحْمٰنِ الرَّحِيْمِ



دانشگاه آزاد اسلامی

واحد تهران مرکزی

دانشکده علوم پایه، گروه فیزیک

پایان نامه برای دریافت درجه کارشناسی ارشد (M.Sc)

گرایش: حالت جامد

عنوان:

ساخت نانوساختارهای دوبعدی اکسید نیکل روی ورق نیکل و بررسی

خواص فتوکاتالیستی آن

استاد راهنما :

دکتر روح الله عظیمی راد

استاد مشاور:

دکتر امید اخوان

پژوهشگر:

نفیسه صبوحی

زمستان ۱۳۹۱

تقدیم به:

پدر و مادر مهربانم
به پاس زحمات بی دریغشان

تشکر و قدردانی:

سپاس خداوندی را که سخنوران از ستودن او عاجزند، و حسابگران از شمارش نعمتهای او ناتوان، و تلاشگران از ادائی حق او درمانده‌اند. خدایی که افکار ژرف اندیش، ذات او را درک نمی‌کنند و دست غواصان دریای علوم به او نخواهد رسید.

شایسته است صمیمانه ترین تشکرات قلبی خود را تقدیم اساتید بزرگوارم نمایم که بنده را در تهیه این پایان نامه همراهی نموده و خدمات زیادی متحمل شده و مرا با اظهار نظراتشان راهنمایی نمودند.

از استاد گرانقدر راهنما جناب آقای دکتر روح الله عظیمی راد که با خدمات فراوان، دلسوزی و صبر تمام بنده را در انجام این تحقیق یاری نمودند و نیز از استاد گرانقدر جناب آقای دکتر امید اخوان که مشاوره این پایان نامه را به عهده داشتند کمال تشکر و قدردانی را دارم. همچنین از سرکار خانم دکتر کیمیاگر که داوری پایان نامه اینجانب را بر عهده گرفتند کمال تشکر و قدردانی را دارم.

از پدر و مادر عزیز و بسیار مهربانم، به پاس لطف، صبر و خدمات بی‌دریغشان کمال تشکر را دارم. به این امید که خداوند رحمان توفیق جبران محبتها یشان را نصیبم نماید.

بسمه تعالى

تعهد نامه اصالت پایان نامه کارشناسی ارشد

اینجانب نفسیه صبحی دانشجوی کارشناسی ارشد رشته فیزیک گرایش حالت جامد با شماره دانشجویی ۸۹۰۶۲۹۳۰۴۰۰ اعلام می‌نمایم که کلیه مطالب مندرج در این پایان نامه با عنوان: ساخت نانوساختارهای دو بعدی اکسید نیکل روی ورق نیکل و بررسی خواص فتوکاتالیستی آن حاصل کار پژوهشی خود بوده و چنانچه دستاوردهای پژوهشی دیگران را مورد استفاده قرار داده باشم، طبق ضوابط و رویه‌های جاری، آن را ارجاع داده و در فهرست منابع و مأخذ ذکر نموده‌ام. علاوه بر آن تأکید می‌نمایم که این پایان نامه قبلًا برای احراز هیچ مدرک هم سطح، پائین‌تر یا بالاتر ارائه نشده و چنانچه در هر زمان خلاف آن ثابت شود، بدینوسیله متعهد می‌شوم، درصورت ابطال مدرک تحصیلی ام توسط دانشگاه، بدون کوچکترین اعتراض آن را بپذیرم.

تاریخ و امضا

بسمه تعالی

در تاریخ :

دانشجوی کارشناسی ارشد آقای / خانم ...نفیسه صبوحی... از پایان نامه خود دفاع نموده و
با نمره۲۰... به حروف ...بیست تمام..... و با درجه ...عالی..... مورد تصویب
قرار گرفت.

امضاء استاد راهنمای

فهرست مطالب

	عنوان
صفحه	
۱	چکیده
	فصل اول : اکسید نیکل؛ ویژگیها و کاربردها
۳	۱-۱ - مقدمه
۴	۲-۱ - فلز نیکل (Ni)
۶	۲-۱-۱ - حالات اکسایش نیکل
۸	۲-۲-۱ - کاربردهای نیکل
۹	۳-۱ - انواع اکسیدهای نیکل
۹	۳-۱-۱ - اکسید نیکل (II) یا NiO
۱۴	۳-۱-۲ - اکسید نیکل (III) یا Ni_2O_3
۱۵	۳-۱-۳ - اکسید نیکل (IV) یا NiO_2
۱۷	۴-۱ - کاربردهای اکسید نیکل
۱۹	۵-۱ - مورفولوژی و ریخت شناسی
۲۳	۶-۱ - روش‌های تولید اکسید نیکل (II) و نانوساختارهای آن
۲۳	۷-۱ - کاربردهای NiO
۲۴	۸-۱ - ویژگیهای الکتریکی اکسید نیکل

فصل دوم : فتوکاتالیستها

۳۰	۱-۲- مقدمه
۳۱	۲-۲- پیشینه‌ی تاریخی فتوکاتالیستها
۳۳	۲-۳- مفهوم فتوکاتالیست و روش انجام آن
۳۶	۴-۲- سازوکار واکنشی یک فتوکاتالیست
۳۷	۵-۲- روشاهای بهبود فتوکاتالیستها
۳۹	۶-۲- کاربرد اکسید نیکل به عنوان یک فتوکاتالیست
۳۹	۶-۱-۱- تخریب CV
۴۰	۶-۲-۲- تخریب CP
۴۲	۷-۲- ارتباط بین خاصیت فتوکاتالیستی و آب دوستی
فصل سوم : ساخت لایه های نازک اکسید نیکل	
۴۵	۱-۳- مقدمه
۴۵	۲-۳- کوره لوله ای افقی
۴۸	۳-۳-۳- تهییه کردن نمونه
۴۸	۳-۳-۱- آماده سازی ورقه‌ها جهت لایه نشانی
۴۹	۳-۳-۲- آماده کردن نمونه جهت پخت
۵۰	۳-۳-۳- تنظیم دمای کوره لوله‌ای افقی
۵۰	۴-۳- معرفی آنالیزها
۵۰	۴-۱-۱- طیف سنجی
۵۱	۴-۱-۱-۱- اجزاء اسپکتروفوتومتر
۵۳	۴-۱-۲- عملکرد دستگاه

۵۵.....	۳-۱-۴-۳- انواع مختلف دستگاه طیف سنج
۵۵.....	۳-۴-۲- میکروسکوپ الکترونی روبشی (SEM)
۵۶.....	۳-۴-۳- پراش اشعه ایکس (XRD)
۵۹.....	۳-۴-۴- اندازه‌گیری زاویه تماسی قطره با سطح
۶۰.....	۳-۴-۴-۱- زوایای تماس
۶۱.....	۳-۴-۴-۲- روش‌های اندازه‌گیری
۶۲.....	۳-۴-۴-۳- اجزای دستگاه اندازه‌گیری زاویه تماس ساکن
۶۲.....	۴-۴-۴-۳- کاربردها

فصل چهارم : بحث و بررسی آنالیزها

۶۶.....	۴-۱- مقدمه
۶۶.....	۴-۲- تاثیر دمای پخت
۶۶.....	۴-۲-۱- ورقه‌ی آهن- نیکل
۶۶.....	۴-۲-۱-۱- مشاهدات SEM
۷۰	۴-۲-۱-۲- بررسی ساختار بلوری با آنالیز XRD
۷۳	۴-۲-۱-۳- بررسی خاصیت آب دوستی نمونه‌ها
۷۶	۴-۲-۲- ورقه‌ی نیکل خالص
۷۶	۴-۲-۲-۱- مشاهدات SEM
۸۰	۴-۲-۲-۲- بررسی ساختار بلوری با آنالیز XRD
۸۳	۴-۲-۲-۳- بررسی خاصیت آب دوستی نمونه‌ها

فصل پنجم : بررسی اثر فتوکاتالیستی نانوساختارهای اکسید نیکل برای تخریب رنگدانه متیلن بلو

۹۲	۱-۵
۹۲	۲-۵
۹۶	۳-۵
۹۶	۳-۵
۹۷	۴-۵

فصل ششم : نتیجه گیری و پیشنهادات

۱۰۳	۱-۶
۱۰۸	۲-۶
۱۰۹	مراجع
۱۱۹	چکیده انگلیسی

فهرست جداول

عنوان	صفحه
جدول ۱-۱ : چند ویژگی مهم نیکل (Ni)	۶
جدول ۱-۲ : برخی از ویژگیهای مهم اکسید نیکل (II)	۱۳
جدول ۱-۳ : برخی از ویژگیهای مهم اکسید نیکل (III)	۱۵

جدول ۱-۴ : برخی از ویژگیهای مهم اکسید نیکل (IV).....	۱۵
جدول ۱-۲ : مقایسه مزايا و معایب لایه و پودر جهت تست فتوکاتالیستي.....	۳۵
جدول ۱-۳ : عناصر موجود در ورقه‌ی آهن-نیکل با بیشترین درصد وزنی.....	۴۹
جدول ۱-۴ : اندازه بلورک بدست آمده از رابطه شر برای نمونه پخت شده در دماي $72\text{.....}800^{\circ}\text{C}$	
جدول ۲-۴ : زاویه تماس قطره آب بر روی سطح ورقه‌ی آهن-نیکل پخت شده در دماهای مختلف.....	۷۵
جدول ۳-۴ : زاویه تماس آب بر روی سطح ورقه‌های اکسید نیکل پخت شده در دماهای مختلف.....	۸۴
جدول ۴-۴ : زاویه تماسی قطرات آب بر روی سطح ورقه‌ی نیکل در زمانهای مختلف تابش نور UV برای دماهای مختلف پخت.....	۸۵
جدول ۴-۵ : زاویه تماسی قطرات آب بر سطح ورقه‌ی نیکل پخت شده در دماهای مختلف پس از ساعت تابش نور UV بر سطح نمونه‌ها و قرارگیری در تاریکی.....	۲۴
جدول ۱-۵ : سرعت تخریب متیلن بلو با افزایش دماي پخت.....	۱۰۰

فهرست اشکال

عنوان.....	صفحه.....
شکل ۱-۱ : درصد مقادیر مصرف نیکل در جهان.....	۳
شکل ۱-۲ : فلز نیکل خالص.....	۵
شکل ۱-۳ : نمونه هایی از کاربرد نیکل.....	۹
شکل ۱-۴ : بلور اکسید نیکل (II) (بونسنیت).....	۱۰

..... ۱۱ شکل ۱-۱ : $\alpha\text{-NiO}$ و $\beta\text{-NiO}$
..... ۱۵ شکل ۱-۶ : ساختار بلوری شبکه اکسید نیکل (IV)
..... ۲۰ شکل ۱-۷-۱ : ساختار شبکه‌ای و یک سلول واحد NiO
..... ۲۱ شکل ۱-۸-۱ : ساختار قرار گیری اتم‌های نیکل و اکسیژن در NiO درست مشابه با NaCl است
..... ۲۱ شکل ۱-۹-۱ : سلول واحد بلور NiO (چپ) و منطقه اول بریلوئن متناظر با آن (راست)
..... ۲۲ شکل ۱-۱۰-۱ : ساختار بلوری NiO تجربی و شبیه سازی شده با درجه اکسایش‌های مختلف، سبز = سطح (۱۰۰)، آبی = سطح (۱۱۰) و قرمز = سطح (۱۱۱)
..... ۲۵ شکل ۱-۱۱-۱ : مقایسه نمودار نواری NiO با چند نیمرسانای نوعی
..... ۲۶ شکل ۱-۱۲-۱: ساختار نواری NiO با محاسبات LDA . ۵ نواری که سطح فرمی را قطع کرده اند مربوط به نوارهای $\text{Ni}(3d)$ و ۳ نواری زیرین مربوط به حالات $(2p)O$ هستند.
..... ۲۷ شکل ۱-۱۳-۱ : چگالی حالات NiO با محاسبات LDA
..... ۲۷ شکل ۱-۱۴-۱ : ساختار نواری در جهت (۰۰۱) در حجم NiO با محاسبات (DFT) برای (a) شبکه خالص (b) یک تهی جا (c) دو تهی جا
..... ۳۱ شکل ۱-۲ : نموداری از کاربرد فتوکاتالیست‌ها
..... ۳۳ شکل ۲-۲ : تعداد مقالات ISI با موضوع فتوکاتالیست
..... ۳۴ شکل ۲-۳-۲ : کاهش انرژی فعال‌سازی یک واکنش در حضور کاتالیست
..... ۳۶ شکل ۲-۴-۲ : ساختار مولکولی متیلن ارنج
..... ۳۶ شکل ۲-۵-۲ : ساختار مولکولی متیلن بلو
..... ۳۷ شکل ۲-۶-۲ : فرایندهای اصلی در یک فتوکاتالیست نیم رسانا (i) جذب فوتون و تولید جفت الکترون-حفره (ii) جدایی و مهاجرت بار (a) به سایت‌های واکنشی سطحی یا (b) به سایت‌های بازترکیب (iii) واکنش شیمیایی سطحی در سایت‌های فعال
..... ۴۰ شکل ۲-۷-۲ : تحول زمانی طیف محلول آبی کریستال بنفش (10 mg/l) با نانومواد NiO

- شکل ۸-۲ : تحول زمانی طیف جذب محلول آبی کریستال بنفش TiO_2 با نانومواد (۱۰ mg/l) با TiO_2 ۴۰
- شکل ۹-۲ : تغییر غلظت CP-۴ در حین آزمایش جذب و تخریب نوری با استفاده از نانوذرات NiO ۴۱
- شکل ۱۰-۲: تغییر غلظت CP-۴ در حین آزمایش جذب و تخریب نوری با استفاده از نانوذرات NiO/SiO_2 ۴۱
- شکل ۱۱-۲ : تغییر غلظت CP-۴ در حین آزمایش تخریب نوری با استفاده از مواد مبتنی بر NiO ۴۲
- شکل ۱۲-۲: تغییر غلظت CP-۴ در حین آزمایش تخریب نوری با استفاده از نانوذرات TiO_2 و منابع پرتودهی مختلف ۴۲
- شکل ۱-۳ : کوره لوله ای افقی مدل TZ F12 ۴۶
- شکل ۲-۳ : طرح واره‌ای از رسوب بخارات در کوره لوله‌ای جهت رشد نانوساختارها ۴۶
- شکل ۳-۳ : طرح واره ای از رشد نانوساختارها به روش رسوب بخارات شیمیایی (CVD) ۴۷
- شکل ۴-۳ : طرح واره ای از کوره لوله‌ای افقی همراه با سیستم خلا ۴۸
- شکل ۵-۳ : فرایند تشکیل اکسید نیکل از ورقه‌ی نیکل ۵۰
- شکل ۶-۳ : دستگاه اسپکتروفوتومتر ۵۱
- شکل ۷-۳ : طرح واره کلی از مسیر نور در اسپکتروفوتومتر ۵۴
- شکل ۸-۳ : دستگاه آنالیز XRD ۵۶
- شکل ۹-۳ : پراش پرتو X توسط یک بلور ۵۸
- شکل ۱۰-۳ : پهنه‌ای پیک در نصف ارتفاع ۵۹
- شکل ۱۱-۳ : نمایی از نرم افزار Match ۵۹
- شکل ۱۲-۳ : قطره مایع روی سطح جامد ۶۰
- شکل ۱۳-۳ : تصویر قطره آب روی سطح شیشه ۶۱
- شکل ۱۴-۳ : تصویری از زاویه تماس به روش قطره روی سطح به وسیله نرم افزار ۶۲

- شکل ۳-۱۵ : دستگاه اندازه‌گیری زاویه تماس نوعی ۶۲
- شکل ۳-۱۶ : دستگاه زاویه سنج قطره تماسی ساخته شده در دانشگاه مالک اشتر ۶۳
- شکل ۳-۱۷ : تعیین زاویه تماس قطره با سطح جامد توسط برنامه رایانه ای Sca20 ۶۴
- شکل ۴-۱ : تصاویر SEM مربوط به ورقه‌ی آهن- نیکل غوطه‌ور شده در محلول NaOH به مدت ۷۲ ساعت بدون پخت در بزرگنمایی‌های مختلف ۶۷
- شکل ۴-۲ : تصاویر SEM مربوط به نمونه پخت شده در دمای 400°C در بزرگنمایی‌های مختلف ۶۸
- شکل ۴-۳ : تصاویر SEM مربوط به نمونه پخت شده در دمای 500°C در بزرگنمایی‌های مختلف ۶۸
- شکل ۴-۴ : تصاویر SEM مربوط به نمونه پخت شده در دمای 600°C در بزرگنمایی‌های مختلف ۶۹
- شکل ۴-۵ : تصاویر SEM مربوط به نمونه پخت شده در دمای 700°C در بزرگنمایی‌های مختلف ۶۹
- شکل ۴-۶ : تصاویر SEM مربوط به نمونه پخت شده در دمای 800°C در بزرگنمایی‌های مختلف ۷۰
- شکل ۷-۴: طیف XRD ورقه‌ی آهن- نیکل غوطه‌ور شده در محلول NaOH قبل از پخت ۷۱
- شکل ۸-۴ : طیف XRD از میکروساختارهای اکسید آهن- نیکل رشد داده شده به روش پخت حرارتی در دمای 800°C ۷۲
- شکل ۹-۴ : تصویر زاویه تماس قطره با سطح ورقه‌ی آهن- نیکل قبل از عملیات شیمیایی ۷۳
- شکل ۱۰-۴ : تصویر زاویه تماس قطره با سطح ورقه‌ی آهن- نیکل پس از قرار گرفتن در محلول NaOH به مدت ۷۲ ساعت ۷۴
- شکل ۱۱-۴ : تصویر زاویه تماس قطره با سطح ورقه‌ی آهن- نیکل پس از پخت در دمای 400°C ۷۴
- شکل ۱۲-۴ : تصویر زاویه تماس قطره با سطح ورقه‌ی آهن- نیکل پس از پخت در دمای 500°C ۷۴
- شکل ۱۳-۴ : تصویر زاویه تماس قطره با سطح ورقه‌ی آهن- نیکل پس از پخت در دمای 600°C ۷۵
- شکل ۱۴-۴ : تصویر زاویه تماس قطره با سطح ورقه‌ی آهن- نیکل پس از پخت در دمای 700°C ۷۵
- شکل ۱۵-۴ : تصویر زاویه تماس قطره با سطح ورقه‌ی آهن- نیکل پس از پخت در دمای 800°C ۷۵

شکل ۱۶-۴ : تصاویر SEM مربوط به ورقهی نیکل خالص غوطه ور شده در محلول NaOH به مدت ۷۲ ساعت بدون پخت در بزرگنمائی‌های مختلف.....	۷۷
شکل ۱۷-۴ : تصاویر SEM مربوط به نمونه پخت شده در دمای 400°C در بزرگنمائی‌های مختلف.....	۷۸
شکل ۱۸-۴ : تصاویر SEM مربوط به نمونه پخت شده در دمای 500°C در بزرگنمائی‌های مختلف ...	۷۸
شکل ۱۹-۴ : تصاویر SEM مربوط به نمونه پخت شده در دمای 600°C در بزرگنمائی‌های مختلف....	۷۹
شکل ۲۰-۴ : تصاویر SEM مربوط به نمونه پخت شده در دمای 700°C در بزرگنمائی‌های مختلف ...	۷۹
شکل ۲۱-۴ : تصاویر SEM مربوط به نمونه پخت شده در دمای 750°C در بزرگنمائی‌های مختلف.....	۷۹
شکل ۲۲-۴ : تصاویر SEM مربوط به نمونه پخت شده در دمای 800°C در بزرگنمائی‌های مختلف ...	۸۰
شکل ۲۳-۴ : طیف XRD ورقهی نیکل غوطه ور شده در محلول NaOH قبل از پخت.....	۸۱
شکل ۲۴-۴ : طیف XRD نمونه پخت شده در دمای 700°C	۸۲
شکل ۲۵-۴ : طیف XRD نمونه پخت شده در دمای 800°C	۸۳
شکل ۲۶-۴ : تغییر زاویه‌ی تماس قطره با سطح ورقه بر اساس دمای پخت.....	۸۵
شکل ۲۷-۴ : نمودار تغییرات زاویه‌ی تماسی قطرات آب بر سطح ورقهی نیکل در زمانهای مختلف تابش نور UV برای دماهای مختلف پخت.....	۸۷
شکل ۲۸-۴ : نمودار تغییرات زاویه‌ی تماسی قطرات آب بر سطح ورقهی نیکل در زمانهای مختلف قرارگیری در تاریکی برای دماهای مختلف پخت.....	۹۰
شکل ۱-۵ : ساختار ملکولی یک ملکول متیلن-بلو.....	۹۳
شکل ۲-۵ : محلول متیلن-بلو به رنگ آبی دیده می شود.....	۹۳
شکل ۳-۵ : طیف جذب محلول آبی متیلن-بلو بر حسب ضریب جذب مولی. در طول موج ۶۶۵ nm حدود ۹۸٪ از نور فروندی، توسط این محلول جذب می شود.....	۹۴
شکل ۴-۵ : تغییر رنگ محلول آبی متیلن-بلوحاوی فتوکاتالیست TiO_2 تحت تابش نور فرابنفش با زمانهای مختلف.....	۹۵

..... شکل ۵-۵ : طیف جذب محلول متیلن - بلو حاوی فتوکاتالیست TiO_2 تحت زمانهای مختلف تابش فرابنفش	۹۵
..... شکل ۶-۵ : مکانیسم پیشنهادی برای تخریب متیلن - بلو و تبدیل آن به آب و دیاکسید کربن	۹۶
..... شکل ۷-۵ : غلظت نسبی محلول متیلن - بلو نسبت به غلظت هر لحظه‌ی نمونه شاهد طی زمانهای مختلف تابش نور فرابنفش	۹۹
..... شکل ۸-۵ : شبیب نمودار لگاریتمی غلظت بر حسب زمانهای مختلف تابش نور UV بر روی نمونه‌های رشد داده شده در دماهای مختلف و محاسبه‌ی K	۱۰۰
..... شکل ۱-۶ : مقایسه شدت پیکها با افزایش دما	۱۰۵
..... شکل ۲-۶ : تغییر زاویه‌ی تماس قطره با سطح ورقه بر اساس دمای پخت پس از ۶۰ دقیقه تابش نور UV	۱۰۶
..... شکل ۳-۶ : تغییر زاویه‌ی تماس قطره با سطح ورقه بر اساس دمای پخت پس از ۱۸ ساعت قرار گرفتن در تاریکی	۱۰۷
..... شکل ۴-۶ : سرعت تخریب متیلن بلو در دماهای مختلف پخت	۱۰۸

❖ چکیده ❖

در سال‌های اخیر استفاده از نیمرساناهای اکسید فلزی واسطه ردیف اول (دسته اوربیتال‌های 3d) مانند TiO_2 , ZnO , CuO و Fe_2O_3 به عنوان فتوکاتالیست برای تخریب آلودگی‌ها و باکتری‌ها و همچنین سطوح آبدوست توجه فراوانی را به خود جلب کرده است.

اکسید نیکل (NiO) نیز به سبب خواص مغناطیسی و الکترونیکی اش پژوهش‌های علمی فراوانی را جلب کرده است. اکسید نیکل (NiO) یک نیمه رسانای نوع p است که گاف انرژی آن به صورت تجربی در حدود 4 eV به دست آمده است. نواقص شبکه‌ای NiO مانند تهی جاهای اکسیژن، نقشی کلیدی در مقدار گاف انرژی آن دارند. اکسید نیکل، ماده امیدوار‌کننده‌ای برای کاربردهایی در زمینه سلول سوختی، کاتالیست‌ها، خازن‌های الکتروشیمیایی و غیره است. تاکنون نانو ساختارهای اکسید نیکل با مورفولوژی‌های مختلف از جمله نانومیله‌ها، نانوسیم‌ها و نانوتیوب‌ها به دست آمده‌اند.

در این پایان نامه، نانوساختارهای اکسید نیکل بر روی ورق نیکل در حضور کاتالیست هیدروکسید سدیم به روش پخت حرارتی دمای بالا در اتمسفر محیط رشد داده می‌شود. این فرآیند پخت حرارتی دمای بالا در دو مرحله انجام شده است. همچنین تاثیر پارامتر دما بر مورفولوژی و ابعاد نانوساختارهای اکسیدنیکل بررسی گردید.

نانوساختارهای اکسید نیکل رشد داده شده با استفاده از میکروسکوپ الکترونی روبشی (SEM) و الگوی پراش پرتو ایکس (XRD) مورد بررسی و مشخصه‌یابی قرار گرفتند. بر اساس نتایج به دست آمده از تصاویر SEM، در دمای 600°C ساختار نانومتری تشکیل شده که پهنا و طول این نانوصفحات به ترتیب در محدوده $20-90 \mu\text{m}$ و $30-80 \text{ nm}$ می‌باشد که با افزایش دمای پخت، این اندازه‌ها افزایش می‌یابد.

الگوی XRD نیز نشان می‌دهد که بلورهای اکسید نیکل در راستای صفحات (۱۱۱)، (۰۰۲)، (۰۲۰)، (۳۱۱) و (۲۲۲) رشد کرده‌اند. در خاتمه، برخی از ویژگی‌های نمونه‌های رشد داده شده نظیر تخریب فتوکاتالیستی رنگدانه‌های متیلن بلو و خواص آبدوستی بررسی گردید.

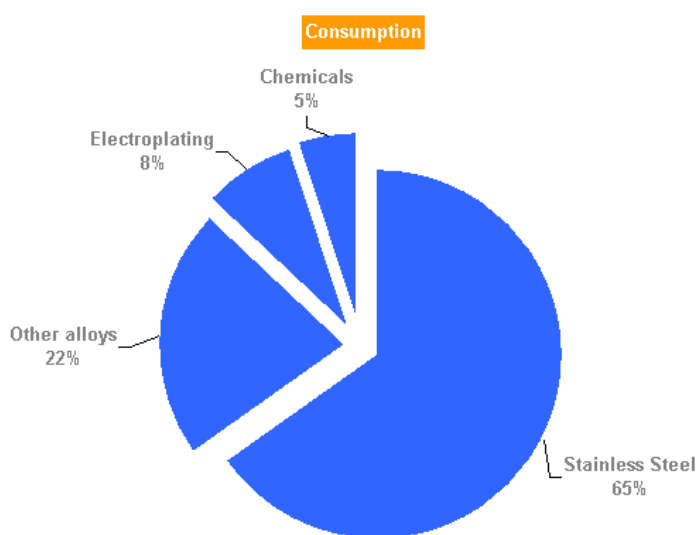
کلمات کلیدی : اکسید نیکل، نانوساختارها، بازپخت حرارتی، فتوکاتالیست، آبدوستی

فصل اول :

اکسید نیکل؛ ویژگی‌ها و کاربردها

۱-۱- مقدمه

نیکل فلزی با آینده‌ی درخشان است، زیرا فلز آلیاژ اصلی مورد نیاز برای تولید انواع مشخصی از فولادهای ضد زنگ است. استحکام و دوام محصولات ساخته شده از فولاد ضد زنگ، بسیار فراتر از محصولات ساخته شده از فولاد است. کاربرد اصلی نیکل (۶۵٪) در تولید فولادهای ضد زنگ، ۲۰٪ برای تولید سایر فولادها و آلیاژهای غیر آهنی از جمله آلیاژهای پیشرفته^۱، ۹٪ در آبکاری الکتریکی^۲ و ۶٪ نیز در سکه‌ها و مواد شیمیایی است. همچنین سالیانه حدود ۴۰۰۰ تن NiO با درجه مواد شیمیایی تولید می‌شود. شکل ۱-۱، درصد مقادیر مصرف نیکل در جهان را نشان می‌دهد [۲] .



شکل ۱-۱ : درصد مقادیر مصرف نیکل در جهان [۲]

در سال‌های اخیر، استفاده از اکسیدهای فلزی نیمرسانا به عنوان فتوکاتالیست برای تخریب آلودگی‌ها، توجه جوامع علمی را به خود جلب کرده است. نانوساختارهای اکسید فلزی نیمرسانا به

¹ super alloys

² electro-plating

علت ویژگی‌های اپتیکی، الکترونیکی، مغناطیسی، حرارتی و مکانیکی و همچنین کاربردهای بالقوهای که در دستگاه‌های کاتالیستی، حسگرهای گازی و فتوالکترونیکی که دارند، به وفور تحت مطالعه قرار گرفته‌اند. ZnO و TiO_2 به علت فعالیت کاتالیستی و پایداری‌شان، از معروف‌ترین اکسیدهای فلزی نیم‌رسانا هستند. در این میان، به نظر می‌رسد که اکسید فلزی واسطه NiO به خصوص به عنوان کاتالیست برای کاهش آلدگی‌های آب و فاضلاب، موثر باشد.

در این فصل، ابتدا به معرفی فلز نیکل و کاربردهای آن پرداخته و در ادامه انواع اکسیدهای نیکل را شرح داده و روش‌های تولید آنها و همچنین کاربردهای کلی آنها را بررسی می‌کنیم. سپس به بررسی مورفولوژی‌های اکسید نیکل پرداخته و ویژگی‌های الکترونیکی و گاف انرژی آنها را بررسی می‌کنیم.

۱-۲- فلز نیکل (Ni)

نیکل عنصری است فلزی از خانواده فلزهای واسطه که با عدد اتمی ۲۸ و نماد علمی Ni در گروه VIII و در ردیف چهارم جدول تناوبی جای دارد. جرم اتمی آن ۵۸/۷۱ است و ظرفیتهای رایج ۲ و ۴ را دارد. نیکل دارای پنج ایزوتوپ پایدار است. نیکل از گروه آهن‌ها است که سخت و قابل انعطاف بوده، هادی جریان الکتریسیته می‌باشد و به راحتی با گوگرد و آرسنیک ترکیب می‌شود. مقدار نیکل در طبیعت بسیار کم است. این باور وجود دارد که بیشتر نیکل موجود در زمین در هسته این سیاره تمرکز یافته است. مطابق شکل ۱-۲ نیکل یک فلز سفید نقره‌ای است و همچنین به خوبی جلا می‌گیرد.